

УДК 577.3

БИОФИЗИКА

Член-корреспондент АН СССР В. Г. ЛЕВИЧ, Н. Г. МАЗУР, В. С. МАРКИН

САЛЬТАТОРНОЕ ПРОВЕДЕНИЕ ВОЗБУЖДЕНИЯ В МОДЕЛИ  
МИЕЛИНИЗИРОВАННОГО НЕРВНОГО ВОЛОКНА  
ЛИЛЛИ — БОНХЕФФЕРА

Ниже рассматривается аналог миелинизированного нервного волокна в модели Лилли — Бонхеффера (<sup>1-7</sup>). Он представляет собой железную проволоку, вдоль которой чередуются участки длиной  $L$ , покрытые тонким слоем изолятора, и открытые участки длиной  $l$  («перехваты Ранвье»). Эта проволока помещена в капилляр с концентрированной азотной кислотой (рис. 1).

Модель характеризуется удельным сопротивлением электролита  $\rho$ , площадью поперечного сечения электролита  $S$ , периметром поперечного сечения проволоки  $\sigma$ . Мы будем считать что  $L \gg l$ , и, следовательно, в пределах одного перехвата потенциал и другие параметры не изменяются. Это дает возможность использовать здесь результаты теории, развитой для пространственно однородного случая (неопубликованные данные).

Итак (см. рис. 2), пусть перехват 1 ( $P1$ ) находится в активном состоянии (доля активной поверхности  $a = 1$ ) при потенциале  $\varphi^{(1)}$ , близком к  $\varphi_1$  — равновесному потенциалу активного железа, а перехват 2 ( $P2$ ) в пассивном состоянии ( $a = 0, 0 < \varphi^{(2)} < \varphi_*$ ) \*. Тогда с первого на второй перехват течет ток  $I = (\varphi^{(1)} - \varphi^{(2)})S / \rho L$ , приближенно равный  $(\varphi_1 - \varphi_*) \cdot S / \rho L$  (из дальнейшего будет видно, что потенциал  $\varphi^{(2)}$  с момента активации  $P1$  и до момента активации  $P2$  почти все время держится вблизи значения  $\varphi_*$ ). Абсолютная величина плотности тока, выходящего из  $P1$  и входящего в  $P2$ ,  $i \approx (\varphi_1 - \varphi_*)S / \rho L l \sigma$  \*\*.

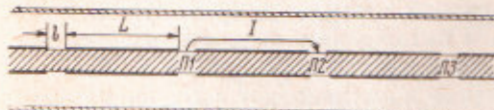


Рис. 1. Схематическое изображение модели Лилли с «миелином»



Рис. 2. Распределение потенциала электролита вдоль проволоки

Ток, втекающий в  $P2$ , и является причиной активации  $P2$  спустя некоторое время после активации  $P1$ . При активировании образца пассивного железа внешним током плотности —  $i$  \*\*\* процесс описывается

\* Ниже порогового потенциала  $\varphi_*$  пассивное состояние сохраняется. Выше  $\varphi_*$  пассивирующая пленка неустойчива. За начало отсчета  $\varphi$  принят равновесный потенциал пассивной поверхности.

\*\* Для простоты мы пренебрегаем утечкой из  $P2$  вправо. Эта утечка по меньшей мере вдвое меньше  $I$  (так как  $\varphi_* = 0.3$  в, а  $\varphi_1 - \varphi_* = 0.6$  в); кроме того, есть и другие основания считать, что  $\varphi^{(2)} - \varphi^{(2)} \ll \varphi^{(1)} - \varphi^{(2)} \approx \varphi_1 - \varphi_*$ .

\*\*\* Положительным считается ток, текущий из железа в электролит.

уравнениями для изменения потенциала

$$C d\varphi / dt - j_{\text{ж}} - j_{\text{пл}} + i_p - i = 0 \quad (1)$$

и распада пассивирующей пленки

$$\frac{da}{dt} = - \frac{1}{Q} j_{\text{пл}}. \quad (2)$$

Здесь  $j_{\text{ж}}$  — плотность тока растворения активного железа;  $j_{\text{пл}}$  — плотность тока распада пленки;  $i_p$  (реобаза) — максимальная плотность тока, пропускаемая системой без активации (она связана с образованием  $\text{HNO}_3$  на пассивной поверхности при  $\varphi > 0$ , причем здесь мы для простоты пренебрегаем изменением концентрации  $\text{HNO}_3$  у поверхности). Вольт-амперные кривые для перечисленных процессов приведены в работе <sup>(3)</sup>. Для количественного анализа они аппроксимированы здесь прямыми линиями. Можно показать, что на стадии активации в уравнении (1) можно пренебречь членом  $C d\varphi / dt$ .

Аналитические выражения для  $j_{\text{ж}}$  и  $j_{\text{пл}}$  таковы \*:

$$j_{\text{ж}} = Aa(\varphi_1 - \varphi), \quad j_{\text{пл}} = A(1 - a)(\varphi_* - \varphi). \quad (3)$$

Подставляя их в уравнения (1), (2) и пользуясь начальным условием  $a(0) = 0$ , находим зависимость доли активной поверхности от времени

$$a = \frac{\exp \left[ \frac{A(\varphi_1 - \varphi_*)}{Q} \left( 1 + \frac{i - i_p}{A(\varphi_1 - \varphi_*)} \right) t \right] - 1}{\exp \left[ \frac{A(\varphi_1 - \varphi_*)}{Q} \left( 1 + \frac{i - i_p}{A(\varphi_1 - \varphi_*)} \right) t \right] + \frac{A(\varphi_1 - \varphi_*)}{i - i_p}}.$$

Анализ формулы показывает, что при  $\frac{i - i_p}{A(\varphi_1 - \varphi_*)} \ll 1$  величина  $a$  изменяется следующим образом. Вначале  $a$  очень медленно увеличивается, а затем резко возрастает практически от 0 до 1. Время, в течение которого происходит резкое возрастание  $a$ , по порядку величины равно  $Q / A(\varphi_1 - \varphi_*)$ , а время «разгона» составляет

$$t_a = \frac{Q}{A(\varphi_1 - \varphi_*)} \ln \frac{A(\varphi_1 - \varphi_*)}{i - i_p}. \quad (4)$$

Сравнение этих величин показывает, что основную часть времени активирования занимает «период разгона», когда  $a \ll 1$  и  $\varphi - \varphi_* \ll \varphi_1 - \varphi_*$ , а активацию можно считать скачкообразной в момент  $t_a$  (рис. 3).

Теперь перейдем непосредственно к нахождению скорости распространения. Активирующий ток  $I$  включается в момент перехода  $\text{II}$  в активное состояние. Время, за которое возбуждение перескакивает с  $\text{II}$  на  $\text{II}'$ , очевидно, выражается формулой (4). Отсюда легко найти скорость распространения активации

$$w = LA(\varphi_1 - \varphi_*) / Q \ln \frac{1}{S/Li_p \sigma A - i_p / A(\varphi_1 - \varphi_*)}. \quad (5)$$

Из этого выражения видно, что по мере приближения плотности активирующего тока  $S(\varphi_1 - \varphi_*) / L i_p \sigma$  к  $i_p$  скорость убывает до нуля, а при  $S(\varphi_1 - \varphi_*) / L i_p \sigma < i_p$  выражение теряет смысл. Физически это означает, что длину  $L$  «минелинизированного» участка можно увеличивать лишь до некоторого предела  $L_*$ , выше которого влияние  $\text{II}$  на  $\text{II}'$  настолько ослабевает, что распространение импульса активации становится невозможным.

\* Наклоны вольт-амперных характеристик растворения железа и образования распада пленки случайно оказались очень близкими. Поэтому для них взято, ради простоты одно и то же значение  $A = 20 \text{ а/см}^2 \cdot \text{в}$ .

Более подробное изучение зависимости  $w$  от  $L$  показывает, что  $w(L)$  при  $i_p / A(\varphi_1 - \varphi_*) < e^{-2}$  имеет максимум между  $L_*$  и  $L_*/2$ . Для  $w_{\max}$  можно написать оценку

$$w_{\max} \approx \frac{AS(\varphi_1 - \varphi_*)}{Q} \left| l \rho \sigma i_p \ln \frac{A(\varphi_1 - \varphi_*)}{i_p} \right|,$$

справедливую при  $i_p / A(\varphi_1 - \varphi_*) \ll 1$ . При реальных значениях параметров это условие всегда выполняется.

Укажем область применимости изложенной теории. Для того чтобы в передаче возбуждения участвовали в основном два соседних перехвата, необходимо, чтобы условие

$$(\varphi_1 - \varphi^{(1)}) / (\varphi_1 - \varphi_*) \ll 1 \quad (6)$$

выполнялось в течение всего времени, кроме коротких промежутков, за которые пассивное состояние перехвата сменяется активным. Поскольку

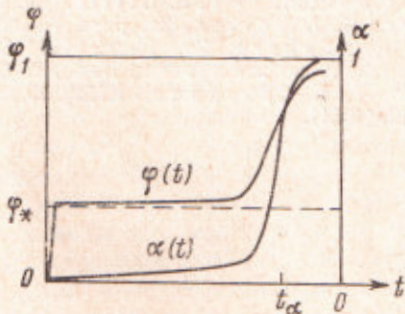


Рис. 3. Зависимость потенциала  $\varphi$  и доли активной поверхности  $\alpha$  от времени в процессе активирования внешним током

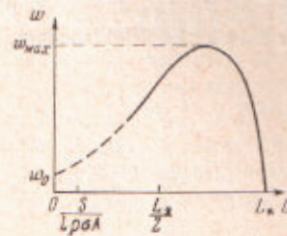


Рис. 4. Зависимость скорости распространения от длины «миелинизированных» участков  $L$  при заданном  $l$

ток, вытекающий из  $II$ , где  $a = 1$ , создается активным растворением железа, то  $i = A(\varphi_1 - \varphi^{(1)})$  (см. (3)), и условие (6) дает

$$i/A(\varphi_1 - \varphi_*) \ll 1 \text{ или } Ll\rho\sigma A/S \gg 1. \quad (7)$$

Это неравенство и есть условие существования ситуации, изображенной на рис. 2.

Описанное выше распространение возбуждения в электрохимической модели миелинизированного волокна изучалось экспериментально <sup>(1, 7)\*</sup> и был обнаружен эффект значительного увеличения скорости при «миелинизировании» волокна. Основная причина этого увеличения состоит в следующем.

Если отвлечься от слабой логарифмической зависимости, то для скорости при  $L$ , не слишком близких к  $L_*$ , на основании (5) можно написать выражение  $w \sim LA(\varphi_1 - \varphi_*) / Q$ . В то же время, зная характерную длину зоны активации на «немиелинизированной проволоке»  $\lambda = \sqrt{S/\rho\sigma A}$  и характерное время активации  $Q/A(\varphi_1 - \varphi_*)$ , можно оценить скорость им-

пульса на голой проволоке  $w_0 \sim \frac{A(\varphi_1 - \varphi_*)}{Q} \sqrt{\frac{S}{\rho\sigma A}}$ . (Отметим, что эта оценка хорошо согласуется с данными опыта <sup>(1)</sup>). Увеличение скорости  $w/w_0 \sim L/\lambda^2 \gg 1$ , что следует из условий  $L \gg l$  и (7).

В случае, противоположном рассмотренному в данной статье, а именно, когда  $Ll \ll \lambda^2$ , в промежуточных состояниях между активным и пассивным находится много перехватов. Поэтому задача приближенно сводится к слу-

чаю голой проволоки с заменой  $Q$  на «размазанную» величину  $Ql / (l + L)$ . И в этом случае скорость увеличивается во много раз:

$$w / w_0 = (l + L) / l \gg 1.$$

Увеличение скорости, таким образом, объясняется тем, что «миелинизация» избавляет от необходимости активировать большую часть поверхности проволоки.

Развитая теория качественно описывает экспериментальный материал (¹, ²).

Институт электрохимии Академии наук СССР  
Москва

Поступило  
11 VI 1970

Московский государственный университет  
им. М. В. Ломоносова

#### ЦИТИРОВАННАЯ ЛИТЕРАТУРА

- ¹ R. S. Lillie, J. Gen. Physiol., 7, 473 (1925). ² R. S. Lillie, Biological Rev., 11, 181 (1936). ³ K. F. Bonhoeffer, K. J. Vetter, Zs. phys. Chem., 196, 127 (1950). ⁴ K. F. Bonhoeffer, W. Renneberg, Zs. Phys., 118, 389 (1941). ⁵ К. Бонхеффер, Тр. IV Всесоюзн. совещ. по электрохим., Изд. АН СССР, 1959. ⁶ Г. И. Баренблatt, В. М. Ентов, Р. Л. Салганик, ПММ, 29, 977 (1965). ⁷ U. F. Franck, Zs. Elektrochem., 55, 535 (1951).